

## 流水挙動及水路形態に対する境界の効果

金沢工業大学 正員 中川武夫  
 金沢工業大学 正員 今井悟  
 金沢工業大学 学生員 小澤誠  
 金沢工業大学 学生員 ○桃井廉  
 金沢工業大学 早治彰訓

## 1. 緒言

自然河川が広大な堆積平野の上を自由に蛇行する場合があるが、今日見られるようなる多くの都市河川改修の水理現象を取扱う際に無視できない要素の一つに水路境界の効果である。たとえば、河川堤防の一部が護岸工事により可浸食性の土砂がコンクリートなどとの非浸食性の固定境界によって取り去る場合在礁石には、流水と水路境界との干渉機構が二つ以上で河川の影響を受けること容易に予想されることがあつた。<sup>1)</sup> 二つに限らず、著者は流水と水路境界からの干渉機構に注目し、二つが流水及水路の蛇行の生成、維持と工事消滅の支配的役割を果していふことを実験的に明かにしていきたい。

本研究は流水挙動、水路形態、河床波の形状と河床波のスペクトルが水路の境界条件によつてどう依存するかを明かにするために主目的である。

## 2. 実験装置及実験方法

実験に使用した水槽の概要を Fig. 1 に示す。実験水槽は長さ 5.89 m、幅 0.4 m、深さ 0.2 m のアクリル製容器で厚さ 100 mm の砂を敷いており、水槽内を行方不明だ。また、水槽中央の砂層表面は長さ 5.36 m の定断面の初期水路と河床勾配が 1/100 であるように設

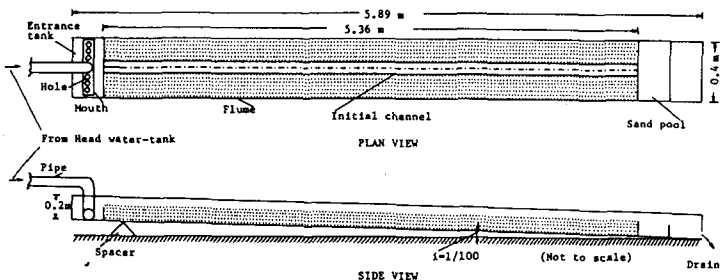


Fig. 1 Schematic diagram of experiment

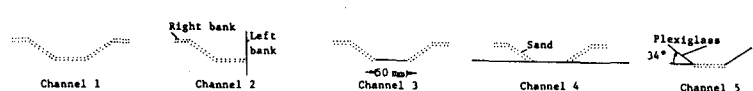


Fig. 2 Cross-section and boundary conditions for each initial channel

定した。Fig. 2 は本実験で用いた 5 種類の初期水路の断面形状、寸法及境界条件を示す。Fig. 2 の初期水路境界は砂層下にアクリルであり、水路側壁面と底面との左角度は水路 2 の左端の左端が 90 度であるのを除き全砂の左端が 34 度である。

実験方法は一定流量、 $158.8 \text{ [cm}^3/\text{s}]$  の水流を各水路内へ合計 80 分間通水することとしたが、この間  $t=20, 40, 60 \text{ min}$  の各時間点で通水を一時停止し、 $x = 250, 300, 350$  及び  $400 \text{ cm}$  の場所における水路横断面形状をポイント・ゲージにより数 mm 間隔で測定した。通水中の  $t = 10,$

30, 50, 70 min の時  $x=250, 300, 350, 400$  cm の場所において初期水路中央に付けた河床高さと水位測定を行なった。実験終了時  $t=80$  min における  $x=250-400$  cm の区間内水路平面形状の測定及水路中心軸と幅の両方向入力和を  $\text{mm}$  間隔で河床波の測定を行なった。実験終了時付河床高さ一式を用いて最大エントロピー法 (MEM) にて  $y=\pm 0.5, \pm 2.5 \text{ cm}$  の 4 本の初期水路中心軸と平行な直線に沿う河床波のスペクトル解析を行なった。

Table 1 は各実験ごとに  $t=10$  min の時点で  $x=250, 300, 350, 400$  cm の場所において平均流速  $U$  平均水深  $h$  及びフルード数  $F = U/\sqrt{gh}$  の値を示した。なお、実験結果の解析においては初期水路最上流端より河床中央を原点とし、右岸が水流下方向を  $x$  軸、左岸方向を  $y$  軸として上方を  $z$  軸の正方向と定義した。左左  $y$ 、水路横断面の表示に限り、 $y$  軸の原点は当該断面の初期水路床の高さとした。また、実験終了時付河床高さ水が初期水路最上流端に到達した瞬間とした。

### 3. 実験結果

Fig. 3 は実験

$x$ [cm]	Experiment 1				Experiment 2				Experiment 3				Experiment 4				Experiment 5			
	250	300	350	400	250	300	350	400	250	300	350	400	250	300	350	400	250	300	350	400
$U$ [cm/s]	10.45	9.80	18.90	11.68	25.61	16.72	23.35	21.75	24.81	17.64	23.35	22.06	19.13	15.57	16.04	23.01	24.43	26.92	33.79	29.96
$h$ [cm]	1.56	1.79	0.80	1.35	0.82	1.30	1.35	1.05	0.76	0.79	0.68	0.75	0.67	1.10	1.03	0.81	0.85	0.83	0.79	0.94
$F_t$	0.27	0.23	0.67	0.32	0.98	0.47	0.78	0.68	0.91	0.63	0.90	0.81	0.67	0.47	0.50	0.82	0.85	0.96	1.21	0.99

4 終了時点において  $y=\pm 0.5, \pm 2.5 \text{ cm}$  の 4 本の軸に沿う河床波のスペクトルを示した。波浪数帯は  $k=10^{-1}$  [cycle/cm] 以下においては、水路中心軸に比較的近い  $y=\pm 0.5 \text{ cm}$  の 2 本の軸に沿うスペクトルは  $k=0.06$  [cycle/cm] において顕著なピークをもつことがわかった。しかし  $y=\pm 2.5 \text{ cm}$  の 2 本の軸に沿うスペクトルは波数の増加に伴って上・下動をくりかえしながら全体として減少していくことがわかった。一方で、 $k=0.06$  [cycle/cm] において  $y=\pm 2.5 \text{ cm}$  の 2 本の軸に沿うスペクトルのピーカーは河床波の形成と比較的方砂洲の存在を反映して川底に解釈された。

実験終了時に付いた各平均水路幅の調査結果は Table 2 に示したとおりである。左左  $y=\pm 2.5 \text{ cm}$  の水路の蛇行軌跡及び水路の側壁の平面形状がより直線的な実験 3 及び 4 の平均水路幅の方が 2 及び 3 より曲線的なものである実験 1 及び 2 の半分よりも小さい。ただし、水路 2 の場合において比較的便宜上 Table 2 の欄外に示したようにして求めた等価水路幅を用いた。

### 4. 参考文献

- Simons, D.B., Richardson, E.V. & Nordin, C.F. Jr. 1965 Sedimentary structures generated by flow in alluvial channels. Primary sedimentary structures and their hydrodynamic interpretation, Am. Assoc. of Petro. Geo., Special Pub. No.12.
- 中川武夫・堀田正典 1982 流水の蛇行及び流路形態に対する境界効果, 第 2 回水理講演会論文集, 45-50.
- 中川武夫・今井博・牧野泰之 1983 一水路内での水路幅に対する水深比の流れ形態及蛇行形態に対する効果, 第 2 回水理講演会論文集, 715-720.
- Nakagawa, T. 1983 Boundary effects on stream meandering and river morphology, Sedimentology, 30, 117-127.
- Nakagawa, T., Imai, S. & Makita, T. 1983 On effects of depth/width ratio on stream centre meandering and bed morphology in a sand channel with solid banks, Memoirs of Kanazawa Institute of Technology, A20(to appear).

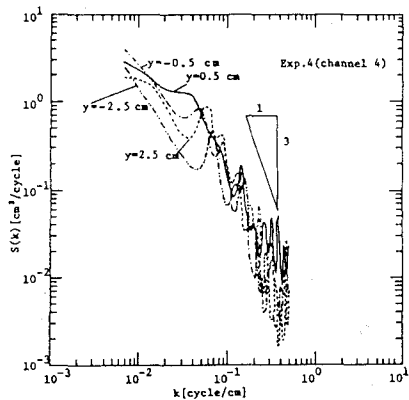


Fig. 3 Spectra of sand waves

Table 2 Average channel width after experiment.					
Channel 1	Channel 2	Channel 3	Channel 4	Channel 5	
width $w$ [cm]	18.91	12.32(19.64)	17.54	16.97	5.00
( ): Equivalent channel width given by [Average width-(Initial width)/2] $\times 2$					